

УДК 539.3

М.А. Колодій, асист.

Житомирський інженерно-технологічний інститут

**СПІВВІДНОШЕННЯ ГЕОМЕТРИЧНИХ, ЕНЕРГЕТИЧНИХ ПАРАМЕТРІВ
ТА ПАРАМЕТРІВ НАПРУЖЕНО-ДЕФОРМОВАНОГО СТАНУ ОБЕРТОВИХ ТІЛ**

На основі інтегральної умови рівноваги обертового деформованого тіла розглядаються співвідношення геометричних та енергетичних параметрів обертового тіла з параметрами напруженого стану. Наведений приклад використання співвідношень для визначення параметрів напруженого стану обертового тіла.

В [1, 2] показано, що для тіла, навантаженого зовнішніми об'ємними та поверхневими силами, умова рівноваги має вигляд:

$$\iiint_V \bar{k} \cdot \bar{r} \cdot dV + \iint_S \bar{p} \cdot \bar{r} \cdot dS = \iiint_V I_1(T_\sigma) dV, \tag{1}$$

де \bar{k} – вектор масової сили, віднесений до одиниці об'єму тіла V ;

\bar{r} – радіус-вектор, що визначає положення елементів масиву тіла, що досліджуються;

\bar{p} – вектор поверхневих сил, віднесений до одиниці навантаженої поверхні тіла площею S ;

$I_1(T_\sigma)$ – перший інваріант тензора напружень.

В [2] показано, що для обертового тіла при врахуванні тільки масових сил:

$$\iiint_V I_1(T_\sigma)^0 dV = \iiint_V \bar{k} \cdot \bar{r} \cdot dV = \iiint_V \rho \omega^2 \cdot \bar{r}_0^2 \cdot dV = J_p \cdot \omega^2 = E^0, \tag{2}$$

де \bar{r}_0 – відстань елемента до осі обертання;

E^0 – подвоєна кінетична енергія, накопичена обертовим тілом;

J_p – полярний момент інерції обертового тіла.

Для цього ж тіла при відсутності обертання та навантаженні лише поверхневими силами:

$$\iiint_V I_1(T_\sigma)^p dV = \iint_S \bar{p} \cdot \bar{r} \cdot dS = E^p, \tag{3}$$

де E^p – енергія, що визначається напруженим станом тіла під дією поверхневих сил.

Для суцільного тонкого диска, навантаженого розтягальними поверхневими силами \bar{p} по циліндричній поверхні, радіальні та колові напруження рівні між собою і мають постійне значення вздовж радіуса. Тому $\sigma_r + \sigma_\theta = const$ і

$$I_1(T_\sigma)^p = \sigma_r + \sigma_\theta = 2\sigma_r = const; \tag{4}$$

$$\iiint_V I_1(T_\sigma)^p dV = I_1(T_\sigma)^p \cdot V. \tag{5}$$

Для кільцевого тонкого диска, навантаженого по внутрішній циліндричній поверхні розтягальними поверхневими силами \bar{p} , направленими до осі, радіальні та колові напруження мають різні значення, але вздовж радіуса їх сума має постійне значення:

$$I_1(T_\sigma)^p = \sigma_r + \sigma_\theta = const; \tag{6}$$

$$\iiint_V I_1(T_\sigma)^p dV = I_1(T_\sigma)^p \cdot V. \tag{7}$$

Розглянемо співвідношення між геометричними, енергетичними та силовими параметрами модельного маховика у вигляді суцільного тонкого диска зовнішнього радіуса r_3 , постійної товщини b , що обертається з постійною кутовою швидкістю ω . Диск виконаний з ізотропного матеріалу густиною ρ , який має модуль пружності E_v та коефіцієнт Пуассона ν , момент інерції J_p .

Суцільний обертовий диск представимо у вигляді двох дискретизованих фрагментів, утворених перерізом на довільно вибраному радіусі r : 1 – внутрішній суцільний дисковий фрагмент, який складається з n_1 кільцевих кінцевих елементів довільного за формою перерізу; 2 – зовнішній кільцевий дисковий фрагмент, який складається з n_2 кільцевих кінцевих елементів довільного за формою перерізу.

Зовнішня циліндрична поверхня внутрішнього фрагмента та внутрішня циліндрична поверхня зовнішнього фрагмента навантажені радіальними напруженнями, які викликають розтягальні радіальні та колові напруження в масиві внутрішнього фрагмента 1 і розтягальні

радіальні та стискуючі колові напруження в масиві зовнішнього фрагмента 2 (при $\omega = 0$).

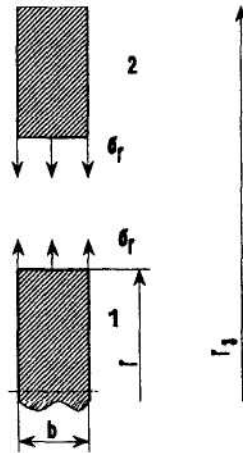


Рис. 1

Енергію, накопичену обертовими фрагментами 1 та 2, представимо у вигляді суми кінетичної енергії, накопиченої при обертанні E^ω , та енергії, накопиченої під дією радіальних напружень E^p :

$$E_1^{\omega p} = E_1^\omega + E_1^p = J_1 \omega^2 + \sum_{n1=1}^{n1} V_{n1} \cdot I_1(T_\sigma)_{n1}^p; \tag{8}$$

$$E_2^{\omega p} = E_2^\omega + E_2^p = J_2 \omega^2 + \sum_{n2=1}^{n2} V_{n2} \cdot I_1(T_\sigma)_{n2}^p. \tag{9}$$

Враховуючи, що енергія накопичена фрагментами 1 та 2 під дією радіальних напружень:

$$E_1^p - E_2^p = 0, \tag{10}$$

вираз для визначення енергії первинного диска матиме вигляд:

$$E_0^\omega = E_1^{\omega p} + E_2^{\omega p} = E_1^\omega + E_1^p + E_2^\omega - E_2^p = E_1^\omega + E_2^\omega = J_p \omega^2. \tag{11}$$

Визначимо співвідношення потенціальної складової енергії фрагмента диска E_1^p , виділеного значенням довільного радіуса r , та повної енергії початкової моделі:

$$e_1^p = \frac{E_1^p}{E_0} = \frac{\sum_{n1=1}^{n1} V_{n1} \cdot I_1(T_\sigma)_{n1}}{\sum_{n=1}^n V_n \cdot I_1(T_\sigma)_n} = \frac{\left(\sum_{n1=1}^{n1} V_{n1} \right) \cdot I_1(T_\sigma)}{J \omega^2} = \frac{V_1 \cdot 2\sigma_r}{0,5\rho V_0 r_3^2 \cdot \omega^2} =$$

$$= 1,65 \cdot \frac{r^2}{r_3^2} \cdot \left(1 - \frac{r^2}{r_3^2} \right) = 1,65 \bar{r}^2 (1 - \bar{r}^2), \tag{12}$$

де $\bar{r} = \frac{r}{r_3}$ – відносний радіус, що визначає положення перерізу, в якому досліджується напружений стан матеріалу моделі.

Таким же чином отримаємо значення цього ж співвідношення для зовнішнього кільцевого фрагмента 2:

$$e_2^p = -1,65 \bar{r}^2 (1 - \bar{r}^2). \tag{13}$$

Дослідження виразів для визначення e_1^p та e_2^p на екстремум показують, що:

$$e_{1\max}^p = 0,4125 \text{ при } r = 0,707r_3;$$

$$e_{1\min}^p = 0 \text{ при } \bar{r} = 0 \text{ та } \bar{r} = 1;$$

$$e_{2\max}^p = 0 \text{ при } \bar{r} = 0 \text{ та } \bar{r} = 1;$$

$$e_{2\min}^p = -0,4125 \text{ при } \bar{r} = 0,707.$$

Діаграма залежності $e_1^p = f(r)$ представлена на рис. 2.

Аналіз кожної залежності показує, що відображаюча її крива є єдиною для всіх плоских

суцільних тонких дисків постійної товщини, що мають різні зовнішні радіуси r_3 , навантажені силами інерції в полі відцентрових сил, виконаних із матеріалів, що мають одне і те ж значення коефіцієнтів Пуассона.

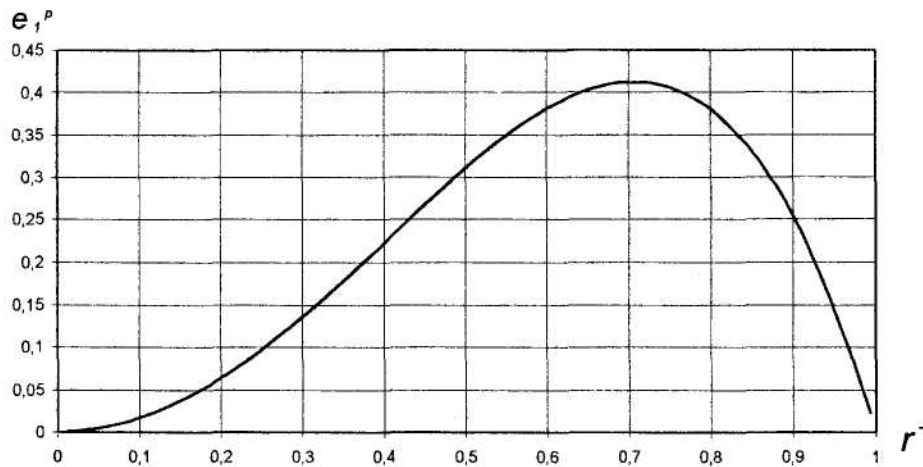


Рис. 2

Для спрощення визначення параметрів напруженого стану обертових тіл, які, наприклад, мають форму тонкого диска постійної товщини з ободом, введемо поняття приведенного плоского диска (рис. 3), зовнішній радіус якого r_n .

В поперечних перерізах приведенного диска на радіусах r при тих же кутових швидкостях напружено-деформований стан буде таким же, як і в перерізах того ж радіуса досліджуваного диска з ободом (в межах диска постійної товщини).

Представимо диск у вигляді двох фрагментів: 1 – плоский суцільний диск постійної товщини; 2 – обід. Радіальні та колові напруження в перерізі обертового фрагмента 1, що має зовнішній радіус r_1 , на довільному радіусі $r < r_1$ визначаємо за виразами:

$$\begin{aligned} \sigma_r^{p\omega} &= \sigma_r^p + \sigma_r^\omega = \sigma_{r(r=r_1)}^p + \frac{3+\nu}{8} \cdot \rho\omega^2(r_1^2 - r^2); \\ \sigma_{\theta r}^{p\omega} &= \sigma_{\theta r}^p + \sigma_{\theta r}^\omega = \sigma_{\theta(r=r_1)}^p + \frac{3+\nu}{8} \cdot \rho\omega^2\left(r_1 - \frac{1+3\nu}{3+\nu} \cdot r^2\right), \end{aligned} \quad (14)$$

де $\sigma_r^p, \sigma_{\theta r}^p$ – радіальні та колові напруження в масиві фрагмента, генеровані об'ємними силами обода;

$\sigma_r^\omega, \sigma_{\theta r}^\omega$ – радіальні та колові напруження в масиві фрагмента, генеровані об'ємними силами власних мас фрагмента.

Радіальні та колові напруження на радіусі r_1 плоского суцільного приведенного диска, який має зовнішній радіус r_n :

$$\begin{aligned} \sigma_r^{p\omega} &= \frac{3+\nu}{8} \cdot \rho\omega^2(r_n^2 - r_1^2); \\ \sigma_{\theta r}^{p\omega} &= \frac{3+\nu}{8} \cdot \rho\omega^2\left(r_n^2 - \frac{1+3\nu}{3+\nu} \cdot r_1^2\right). \end{aligned} \quad (15)$$

Подвоєні кінетичні енергії, накопичені досліджуваним диском з ободом E_d і приведеним плоским суцільним диском E_n , однакові.

На основі цієї рівності маємо:

$$\pi b r_n^2 \cdot \rho \frac{r_n^2}{2} \cdot \omega^2 = J_{PD} \cdot \omega^2. \quad (16)$$

З цього виразу визначаємо радіус приведенного диска:

$$r_n^2 = \sqrt{\frac{2J_{PD}}{\pi b \rho}}. \quad (17)$$

Прирівнявши значення радіальних напружень у виразах (14) та (15), отримаємо відомі залежності для визначення радіальних, колових напружень в перерізі на радіусі r та переміщення перерізу:

$$\sigma_r^{\omega} = \frac{3+\nu}{8} \rho \omega^2 (r_n^2 - r^2); \tag{18}$$

$$\sigma_{\theta r}^{\omega} = \frac{3+\nu}{8} \cdot \rho \omega^2 \left(r_n^2 - \frac{1+3\nu}{3+\nu} \cdot r^2 \right); \tag{19}$$

$$u_r = \frac{r}{E} (\sigma_{\theta r}^{\omega} - \mu \sigma_r^{\omega}). \tag{20}$$

Наведемо приклад застосування розглянутих співвідношень для розрахунків параметрів напруженого стану центральної зони моделі маховика більш складної форми, геометричні параметри котрої представлені на рис. 3.

Маховик виготовлений із сталі: $\nu = 0,3$, $\rho = 7800$ кг/м³, $E_{\nu} = 2 \cdot 10^5$ МПа, кутова швидкість 1500 с⁻¹. Радіус приведеного за накопиченою кінетичною енергією диска визначаємо із залежності:

$$0,1654 r_{II}^4 = J_{pII} \omega^2.$$

Визначимо напруження в перерізах $r_1 = 0$, $r_2 = 101,5$ мм, $r_3 = 199,5$ мм.

Результати розрахунків та їх порівняння з результатами, отриманими за МКЕ, представлені в табл. 1.

Таблиця 1

r, мм	σ_r , МПа			σ_{θ} , МПа		
	0	101,5	199,5	0	101,5	199,5
Розрахунок за наведеними співвідношеннями	969,53	893,84	680,40	968,53	925,58	802,63
Розрахунок за МКЕ	969,32	894,26	680,67	969,32	925,92	802,92
Відхилення, %	0,086	0,035	0,039	0,072	0,036	0,036

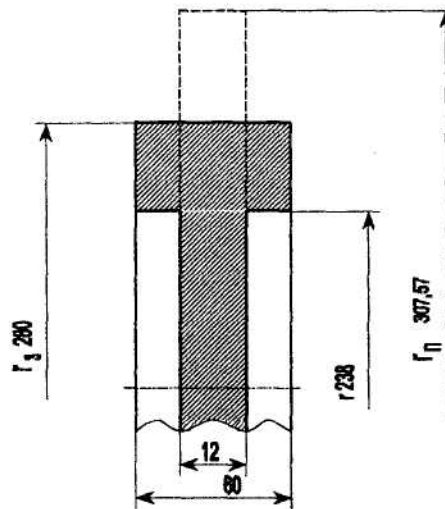


Рис. 3

Наведені дані є свідченням можливості використання розглянутих співвідношень для визначення параметрів напружено-деформованого стану маховиків, що мають конструктивні форми, близькі до наведених на рис. 3.

ЛІТЕРАТУРА:

1. Алфутов Н.А., Зиновьев П.А. Об одной интегральной оценке напряженного состояния еформируемого тела // Механика твердого тела. – 1973. – № 1. – С. 181–183.
2. Портнов Г.Г. Оценка энергоемкости вращающихся тел по интегральной характеристике их напряженного состояния // Проблемы прочности. – 1987. – № 2. – С. 7–12.

КОЛОДІЙ Марина Анатоліївна – асистент кафедри геотехнології та промислової екології Житомирського інженерно-технологічного інституту.

Наукові інтереси:

– дослідження міцності деталей машин

Подано 31.01.2000.